

Starkniederschlagshöhen und -spenden gemäß KOSTRA-DWD-2020

Rasterfeld 126179

(Zeile 126, Spalte 179)

Regenspende und Bemessungsniederschlagswerte in Abhängigkeit von Wiederkehrzeit T und Dauerstufe D

| Dauerstufe D | | Wiederkehrzeit T | | | | | | | | | | | | | | | | | |
|--------------|-----|------------------|------------|------|------------|------|------------|------|------------|------|------------|------|------------|-------|------------|-------|------------|-------|------------|
| | | 1 a | | 2 a | | 3 a | | 5 a | | 10 a | | 20 a | | 30 a | | 50 a | | 100 a | |
| min | Std | mm | l / (s ha) | mm | l / (s ha) | mm | l / (s ha) | mm | l / (s ha) | mm | l / (s ha) | mm | l / (s ha) | mm | l / (s ha) | mm | l / (s ha) | mm | l / (s ha) |
| 5 | | 8,2 | 273,3 | 10,4 | 346,7 | 11,7 | 390,0 | 13,5 | 450,0 | 16,1 | 536,7 | 18,7 | 623,3 | 20,5 | 683,3 | 22,8 | 760,0 | 26,0 | 866,7 |
| 10 | | 10,2 | 170,0 | 13,0 | 216,7 | 14,7 | 245,0 | 16,9 | 281,7 | 20,2 | 336,7 | 23,5 | 391,7 | 25,7 | 428,3 | 28,5 | 475,0 | 32,6 | 543,3 |
| 15 | | 11,4 | 126,7 | 14,5 | 161,1 | 16,4 | 182,2 | 18,9 | 210,0 | 22,5 | 250,0 | 26,3 | 292,2 | 28,7 | 318,9 | 31,9 | 354,4 | 36,5 | 405,6 |
| 20 | | 12,3 | 102,5 | 15,6 | 130,0 | 17,6 | 146,7 | 20,3 | 169,2 | 24,2 | 201,7 | 28,2 | 235,0 | 30,8 | 256,7 | 34,3 | 285,8 | 39,2 | 326,7 |
| 30 | | 13,5 | 75,0 | 17,1 | 95,0 | 19,4 | 107,8 | 22,3 | 123,9 | 26,6 | 147,8 | 31,0 | 172,2 | 33,9 | 188,3 | 37,7 | 209,4 | 43,1 | 239,4 |
| 45 | | 14,7 | 54,4 | 18,7 | 69,3 | 21,2 | 78,5 | 24,4 | 90,4 | 29,1 | 107,8 | 33,9 | 125,6 | 37,0 | 137,0 | 41,1 | 152,2 | 47,0 | 174,1 |
| 60 | 1 | 15,7 | 43,6 | 19,9 | 55,3 | 22,5 | 62,5 | 25,9 | 71,9 | 30,9 | 85,8 | 36,0 | 100,0 | 39,3 | 109,2 | 43,7 | 121,4 | 50,0 | 138,9 |
| 90 | 1,5 | 17,0 | 31,5 | 21,6 | 40,0 | 24,4 | 45,2 | 28,2 | 52,2 | 33,5 | 62,0 | 39,1 | 72,4 | 42,7 | 79,1 | 47,5 | 88,0 | 54,3 | 100,6 |
| 120 | 2 | 18,0 | 25,0 | 22,9 | 31,8 | 25,9 | 36,0 | 29,8 | 41,4 | 35,5 | 49,3 | 41,4 | 57,5 | 45,2 | 62,8 | 50,3 | 69,9 | 57,5 | 79,9 |
| 180 | 3 | 19,5 | 18,1 | 24,8 | 23,0 | 28,0 | 25,9 | 32,3 | 29,9 | 38,4 | 35,6 | 44,8 | 41,5 | 49,0 | 45,4 | 54,4 | 50,4 | 62,2 | 57,6 |
| 240 | 4 | 20,6 | 14,3 | 26,2 | 18,2 | 29,6 | 20,6 | 34,1 | 23,7 | 40,6 | 28,2 | 47,4 | 32,9 | 51,8 | 36,0 | 57,5 | 39,9 | 65,8 | 45,7 |
| 360 | 6 | 22,3 | 10,3 | 28,3 | 13,1 | 32,0 | 14,8 | 36,9 | 17,1 | 43,9 | 20,3 | 51,2 | 23,7 | 55,9 | 25,9 | 62,2 | 28,8 | 71,1 | 32,9 |
| 540 | 9 | 24,1 | 7,4 | 30,6 | 9,4 | 34,6 | 10,7 | 39,9 | 12,3 | 47,5 | 14,7 | 55,3 | 17,1 | 60,4 | 18,6 | 67,2 | 20,7 | 76,8 | 23,7 |
| 720 | 12 | 25,4 | 5,9 | 32,3 | 7,5 | 36,5 | 8,4 | 42,1 | 9,7 | 50,1 | 11,6 | 58,4 | 13,5 | 63,8 | 14,8 | 70,9 | 16,4 | 81,1 | 18,8 |
| 1080 | 18 | 27,5 | 4,2 | 34,9 | 5,4 | 39,4 | 6,1 | 45,5 | 7,0 | 54,1 | 8,3 | 63,1 | 9,7 | 68,9 | 10,6 | 76,6 | 11,8 | 87,6 | 13,5 |
| 1440 | 24 | 29,0 | 3,4 | 36,8 | 4,3 | 41,6 | 4,8 | 48,0 | 5,6 | 57,1 | 6,6 | 66,6 | 7,7 | 72,8 | 8,4 | 80,9 | 9,4 | 92,5 | 10,7 |
| 2880 | 48 | 33,0 | 1,9 | 41,9 | 2,4 | 47,4 | 2,7 | 54,7 | 3,2 | 65,1 | 3,8 | 75,9 | 4,4 | 82,9 | 4,8 | 92,1 | 5,3 | 105,4 | 6,1 |
| 4320 | 72 | 35,6 | 1,4 | 45,3 | 1,7 | 51,2 | 2,0 | 59,0 | 2,3 | 70,3 | 2,7 | 81,9 | 3,2 | 89,5 | 3,5 | 99,5 | 3,8 | 113,7 | 4,4 |
| 5760 | 96 | 37,6 | 1,1 | 47,8 | 1,4 | 54,1 | 1,6 | 62,3 | 1,8 | 74,2 | 2,1 | 86,4 | 2,5 | 94,5 | 2,7 | 105,0 | 3,0 | 120,1 | 3,5 |
| 7200 | 120 | 39,2 | 0,9 | 49,8 | 1,2 | 56,4 | 1,3 | 65,0 | 1,5 | 77,4 | 1,8 | 90,1 | 2,1 | 98,5 | 2,3 | 109,5 | 2,5 | 125,2 | 2,9 |
| 8640 | 144 | 40,6 | 0,8 | 51,6 | 1,0 | 58,3 | 1,1 | 67,2 | 1,3 | 80,1 | 1,5 | 93,3 | 1,8 | 102,0 | 2,0 | 113,3 | 2,2 | 129,6 | 2,5 |
| 10080 | 168 | 41,8 | 0,7 | 53,1 | 0,9 | 60,0 | 1,0 | 69,2 | 1,1 | 82,4 | 1,4 | 96,0 | 1,6 | 105,0 | 1,7 | 116,6 | 1,9 | 133,4 | 2,2 |

Starkniederschlagshöhen und -spenden gemäß KOSTRA-DWD-2020

Rasterfeld 126179

(Zeile 126, Spalte 179)

Örtliche Unsicherheiten in Abhängigkeit von Wiederkehrzeit T und Dauerstufe D

| Dauerstufe D | | Wiederkehrzeit T | | | | | | | | |
|--------------|-----|------------------|-----|-----|-----|------|------|------|------|-------|
| | | 1 a | 2 a | 3 a | 5 a | 10 a | 20 a | 30 a | 50 a | 100 a |
| min | Std | ± % | ± % | ± % | ± % | ± % | ± % | ± % | ± % | ± % |
| 5 | | 12 | 11 | 12 | 12 | 12 | 13 | 13 | 13 | 14 |
| 10 | | 12 | 13 | 14 | 15 | 16 | 17 | 18 | 18 | 19 |
| 15 | | 14 | 16 | 17 | 18 | 19 | 20 | 20 | 21 | 21 |
| 20 | | 15 | 17 | 18 | 19 | 21 | 22 | 22 | 23 | 23 |
| 30 | | 16 | 19 | 20 | 21 | 22 | 23 | 24 | 24 | 25 |
| 45 | | 18 | 20 | 21 | 22 | 23 | 24 | 25 | 25 | 26 |
| 60 | 1 | 18 | 20 | 21 | 23 | 24 | 25 | 25 | 26 | 26 |
| 90 | 1,5 | 18 | 20 | 21 | 23 | 24 | 25 | 25 | 26 | 26 |
| 120 | 2 | 18 | 20 | 21 | 22 | 24 | 25 | 25 | 26 | 26 |
| 180 | 3 | 17 | 20 | 21 | 22 | 23 | 24 | 25 | 25 | 26 |
| 240 | 4 | 17 | 19 | 20 | 21 | 23 | 23 | 24 | 25 | 25 |
| 360 | 6 | 16 | 18 | 19 | 20 | 22 | 23 | 23 | 24 | 24 |
| 540 | 9 | 15 | 18 | 19 | 20 | 21 | 22 | 22 | 23 | 23 |
| 720 | 12 | 15 | 17 | 18 | 19 | 20 | 21 | 22 | 22 | 23 |
| 1080 | 18 | 15 | 16 | 17 | 18 | 20 | 20 | 21 | 21 | 22 |
| 1440 | 24 | 14 | 16 | 17 | 18 | 19 | 20 | 20 | 21 | 21 |
| 2880 | 48 | 14 | 16 | 16 | 17 | 18 | 19 | 19 | 20 | 20 |
| 4320 | 72 | 14 | 15 | 16 | 17 | 18 | 18 | 19 | 19 | 20 |
| 5760 | 96 | 15 | 15 | 16 | 17 | 18 | 18 | 19 | 19 | 19 |
| 7200 | 120 | 15 | 16 | 16 | 17 | 17 | 18 | 18 | 19 | 19 |
| 8640 | 144 | 15 | 16 | 16 | 17 | 17 | 18 | 18 | 19 | 19 |
| 10080 | 168 | 15 | 16 | 16 | 17 | 17 | 18 | 18 | 19 | 19 |

Parameter für abweichende T und D

Lokationsparameter ξ (Xi)

15,97922626

Skalenparameter α (Alpha)

5,9855983

Formparameter κ (Kappa)

-0,1

1. Koutsoyiannis-Parameter θ (Theta)

0,02388342

2. Koutsoyiannis-Parameter η (Eta)

0,81213761

Parameter für dauerstufenübergreifende Extremwertschätzung nach KOUTSOYIANNIS et al. 1998.

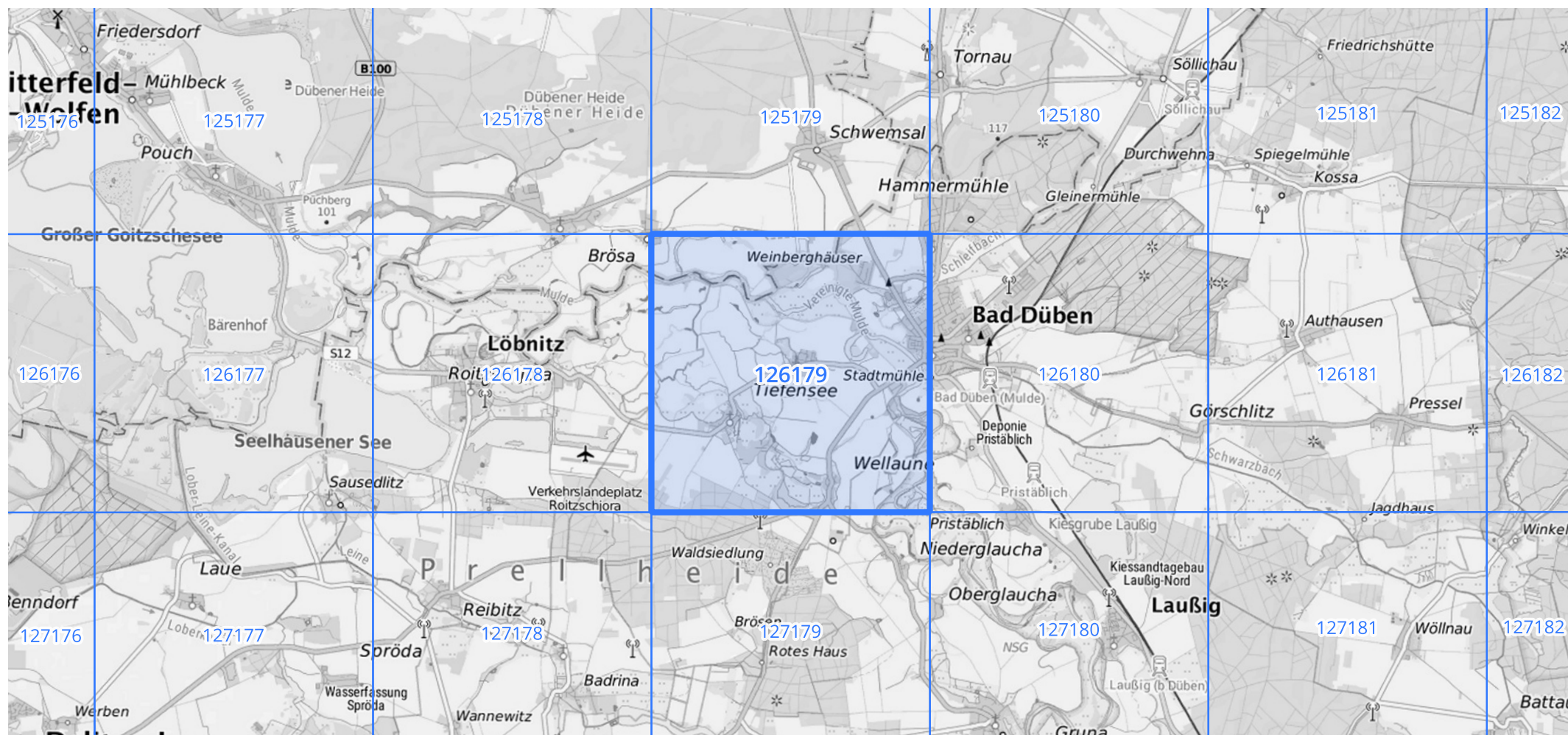
Siehe auch Anwendungshilfe zu KOSTRA-DWD-2020 des Deutschen Wetterdienstes.

Starkniederschlagshöhen und -spenden gemäß KOSTRA-DWD-2020

Rasterfeld 126179

(Zeile 126, Spalte 179)

Übersichtskarte des Rasterfeldes 126179, M 1 : 100 000



Quelle Rasterdaten: KOSTRA-DWD-2020 des Deutschen Wetterdienstes, Stand 12/2022.

Seite 3 von 3

Kartendarstellung: © Bundesamt für Kartographie und Geodäsie (2023), Datenquellen: https://sgx.geodatenzentrum.de/web_public/gdz/datenquellen/Datenquellen_TopPlusOpen.html

Für die Richtigkeit und Aktualität der Angaben wird keine Gewähr übernommen. Erstellt 01/2023.